

تأثیر نانوکپسول‌های سیلیبین بر کولیت اولسراتیو ناشی از اسید استیک در رت

دکتر محسن مینائیان^۱، دکتر ژاله ورشوساز^۱، نفیسه خالقی اصفهانی^۲

مقاله پژوهشی

چکیده

مقدمه: سیلیبین جزء اعظم (۷۰-۸۰ درصد) سیلیمارین و فعال ترین فلاونولیگنان بیولوژیک آن است. این ترکیب دارای اثرات آنتیاکسیدانی و ضدالتهابی می‌باشد. مطالعات قبلی نشان داده است که نانوذرات به طور مؤثری می‌توانند توسط ماکروفاژها، که در فرایند التهاب کولیت اولسراتیو نقش دارند، بلعیده شوند. به علاوه، با کاهش اندازه ذره، برداشت ذره به درون سلول‌های روده‌ای افزایش می‌یابد و ذرات می‌توانند روی نواحی متأثر از التهاب مستقر شوند. در این مطالعه، اثربخشی نانوذرات حاوی سیلیبین روی کولیت اولسراتیو تجربی در رت ارزیابی شد.

روش‌ها: نانوذرات مورد مطالعه، شامل ۱۵ میلی‌گرم سیلیبین بارگیری شده روی ۱۵ میلی‌گرم پلی(اتیل آکریلات-کو-متیل متاکریلات-کو-تری‌متیل آمونیوم اتیل متاکریلات) یا میانگین اندازه ذرهای ۱۰۹ نانومتر بود؛ این ذرات، جهت داروسرانی اختصاصی به کولون، توسط ۲۰ درصد وزن به وزن (w/w) پلیمر پلی(متیل آکریلات-کو-متاکریلات-کو-متاکریلیک اسید) روکش داده شد. پنج گروه جداگانه‌ی رت، برای ۳۶ ساعت در حالت روزه‌داری نگهداری شدند و سپس، با اسید استیک ۴ درصد به آن‌ها کولیت القا شد. درمان ۲ ساعت قبل از القای کولیت شروع و به مدت ۵ روز، روزانه یکبار ادامه یافت. گروه‌های مورد مطالعه شامل نانوکپسول‌های حاوی ۷۵ mg/kg سیلیبین، نانوکپسول‌های فاقد سیلیبین، دگرمازوون ۱ mg/kg و نرمال سالین ۲ ml/kg و گروه رتهای سالم بود. ۲۴ ساعت بعد از آخرین دوز، بافت کولون جدا گردید و بررسی‌های ماکروسکوپیک، هیستوپاتولوژیک و تعیین فعالیت میلوپراکسیداز، سطح TNF-α و IL-6 (Tumor necrosis factor alpha) در بافت کولون انجام شد.

یافته‌ها: نانوکپسول‌های سیلیبین در کاهش التهاب و شدت زخم مؤثر بود؛ در حالی که نتوانست از لحاظ آماری مساحت زخم را کاهش دهد. نسبت وزن به طول کولون مرطوب (W/L) در گروه دگرمازوون و نیز گروه نانوکپسول‌های سیلیبین به داده‌های حاصل از گروه سالم نزدیک بود. بررسی میکروسکوپیک گروه نانوکپسول‌های سیلیبین التهاب خفیف تا متوسط لایه‌ی موکوسی و حداقل آسیب کریپتی را نشان داد؛ به طوری که، نتایج حاصل از آن به طور معنی‌داری با گروه شاهد تفاوت داشت. درمان با نانوکپسول‌های سیلیبین موجب کاهش فعالیت میلوپراکسیداز و همچنین، سطح TNF-α و IL-6 در مقایسه با گروه شاهد گردید.

نتیجه‌گیری: نانوکپسول‌های پلی(اتیل آکریلات-کو-متیل آمونیوم اتیل متاکریلات) حاوی سیلیبین می‌تواند به عنوان جایگزین مناسب با خاصیت آنتیکولیت برای داروهای فعلی (مثل مزالازین) در نظر گرفته شود. در هر حال، به مطالعات بیشتری برای تأیید این فرضیه، به منظور استفاده در کلینیک، نیاز است.

وازگان کلیدی: نانوکپسول‌های سیلیبین، کولیت اولسراتیو، فعالیت میلوپراکسیداز، TNF-α، IL-6، رت

ارجاع: مینائیان محسن، ورشوساز ژاله، خالقی اصفهانی نفیسه. تأثیر نانوکپسول‌های سیلیبین بر کولیت اولسراتیو ناشی از اسید استیک در رت. مجله دانشکده پزشکی اصفهان ۱۳۹۲؛ ۳۱: ۶۷۴-۶۶۱.

* این مقاله هاصل پایان‌نامه‌ی دوره‌ی دکترای هرفارم از دانشگاه علوم پزشکی اصفهان است.

۱- استاد، گروه فارماکولوژی، دانشکده داروسازی، دانشگاه علوم پزشکی اصفهان، اصفهان، ایران

۲- دانشجوی داروسازی، گروه فارماسیوتکس، دانشکده داروسازی و مرکز تحقیقات سیستم‌های نوبن داروسرانی و کمیته‌ی تحقیقات دانشجویی، دانشگاه علوم پزشکی اصفهان، اصفهان، ایران

Email: varshosaz@pharm.mui.ac.ir

نویسنده‌ی مسؤول: دکتر ژاله ورشوساز

مقدمه

چندین فلاونولیگنان است. این فلاونولیگنان‌ها شامل سیلیبین (Silybin) و استریوایزومر آن ایزو‌سیلیبین، سیلیکریستین، ایزو‌سیلیکریستین و سیلیدیانین است. سیلیبین که عمدت‌ترین (۸۰-۷۰ درصد) و فعال‌ترین ترکیب سیلیمارین از لحاظ بیولوژیک می‌باشد، یک آنتی‌اکسیدان پلی‌فنولیک قوی جاروب کننده‌ی رادیکال آزاد است (۵-۶). سیلیمارین به طور عمدت، در اختلالات مثانه و اختلالات التهابی کبدی مزمن شامل هپاتیت، بیماری‌های کبدی مرتبط با مصرف الكل، یرقان و سیروز تجویز می‌شود. اثرات مهاری سیلیبین روی سلول‌های سرطانی انواع بدخیمی‌ها شامل پرستات، ریه، کولون، پوست و مثانه اثبات شده است (۷). مطالعات حیوانی نشان داده است که سیلیمارین/سیلیبین دارای اثرات محافظتی و ضد سرطان‌زاویی پوست در برابر اشعه‌ی ماورای بنسن B (Ultraviolet B) می‌باشد؛ این اثرات مرتبط با فعالیت ضدالتهابی، آنتی‌کسیدانی و تنظیم کننده‌ی سیستم ایمنی روی پوست است (۶).

احتمال می‌رود که ویژگی‌های ضدالتهابی و ضدسرطانی سیلیمارین مربوط به مهار فاکتور نسخه برداری هسته‌ای کاپا (NF- κ B) یا kappa-light-chain-enhancer of activated B cells (cells) باشد. این فاکتور موجب تنظیم بیان ژن‌های گوناگونی می‌گردد که در روند التهابی، ترمیم یا ختای و ایجاد سرطان نقش دارند. به طور اختصاصی تر، NF- κ B در تولید ایترلوکین‌های ۱ (IL-۱) یا TNF- α (Interleukin 6 (IL-6) و ۶ (Interleukin 1 (IL-1) یا TNF- α ، فاکتور محرک رشد کلولی گرانولوسیت-ماکروفاز (GM-CSF) یا Interferon- γ (IFN- γ) و colony-stimulating factor

کولیت اولسراطیو (Ulcerative colitis یا UC) نوعی بیماری التهابی روده (Inflammatory bowel disease (IBD)) است که با اختلالات ترشحی و حرکتی مشخص می‌شود. التهاب در این بیماری اغلب در رکتوم و نواحی انتهایی کولون اتفاق می‌افتد؛ اما امکان این که تمامی کولون را درگیر کند، نیز هست. تظاهرات IBD وابسته به پاسخ ایمنی سلولی و سیتوکین‌های التهابی می‌باشد (۱)؛ اما در هر حال، بیشترین تظاهرات کلینیکی که در بیماران دچار UC دیده شده، حضور خون و موکوس مخلوط با مدفع عهده شده، کرامپ شکمی است که با حرکات روده‌ای تشدید می‌شود. روش درمان UC، بسته به شدت علایم و درجه‌ی درگیری روده تعیین می‌شود (۲).

درمان IBD شامل پنج دسته‌ی اصلی داروهای ضدالتهاب، ایمنوساپرسانت‌ها، عوامل بیولوژیک، آنتی‌بیوتیک‌ها و داروهایی برای علامت درمانی می‌باشد. در سال‌های اخیر، درمان‌های مکمل دیگری نیز مطالعه و به کار گرفته شده است (۳). گرانولوسیت‌ها و مونوکیت‌ها نقش مهمی در UC و دیگر بیماری‌های التهابی خودایمنی دارند؛ چرا که این سلول‌ها قادر به آزاد سازی انواع واسطه‌های التهابی و سیتوکین‌های التهابی از قبیل فاکتور نکروز دهنده‌ی Tumor necrosis factor alpha (TNF- α) یا Interleukin ۱ (IL-۱) و ایتلرلوکین بتا (TNF- β) یا Interleukin ۶ (IL-6) در غلظت‌های بالا در خون، بافت کولون و مدفع بیماران مبتلا به UC یافت می‌شود (۴).

سیلیمارین ترکیب اصلی و عمدتی دانه و میوه‌ی گیاه خارمریم (Milk thistle) می‌باشد که متشکل از

سیستم حساس به pH توسط پلیمر پلی(متیل آکریلات-کو-متیل متاکریلات-کو-متاکریلیک اسید) صورت گرفت. اثر درمانی نانوکپسول‌های سیلیبین با استفاده از مدل ساده و مناسب القای کولیت در رت با استفاده از اسید استیک بررسی گردید.

روش‌ها

روش تهیه نانوذرات

نانوذرات به روش امولسیون سازی با تبخیر حلال تهیه شد. ۱۵ mg پلی(ایتل آکریلات-کو-متیل متاکریلات-کو-تری‌متیل آمونیوم اتیل متاکریلات) و ۱۵ mg سیلیبین در حلال‌های فاز آلی متتشکل از ۲/۵ ml ایزوپروپیل الکل و ۱/۵ ml استون حل شد. تویین ۲۰ به میزان ۰/۵ درصد وزن/حجم (w/v) به عنوان سرفکتانت به ۴۰ ml آب اضافه شد. سپس، در حالی که فاز آبی با سرعت بالا در دمای اتاق در حال به هم خوردن روی استیر بود، فاز آلی قطره قطره به آن افزوده شد. نانوذرات پلیمر-دارو با تبخیر حلال‌های آلی و سرعت بالای همزن تشکیل شدند.

نانوذرات حاصل با افزودن ۲۰ درصد وزن/w(w) پلیمر پلی(متیل آکریلات-کو-متیل متاکریلات-کو-متاکریلیک اسید) به امولسیون روکش داده شدند و در نهایت، ۰/۲ درصد w/v آلبومین تخم مرغ به عنوان کرایوپروتکتانت به امولسیون افزوده شد؛ سپس، در دمای ۷۰-۷۰ درجه‌ی سانتی‌گراد به مدت ۲۴ ساعت فریز و سپس ۷۲ ساعت لیوفیلیزه گردید.

حیوانات

از رت‌های نر نژاد ویستار با محدوده‌ی وزنی 225 ± 25 گرم، که در لانه‌ی حیوانات دانشکده‌ی داروسازی اصفهان پرورش داده و تحت شرایط

نقش مؤثری دارد. از طرفی IL-1 و TNF-α نیز خود می‌توانند باعث فعال شدن NF-kB، که در نتیجه‌ی جدا شدن آن از پروتئین مهاری IKBα حاصل NF-kB می‌گردد، شوند. اثر مهاری سیلیمارین روی NF-kB در تمامی بافت‌های انسانی قابل رویت است. لازم به ذکر است که بخشی از اثرات ضدالتهابی داروهایی مثل سدیم سالیسیلات و آسپرین نیز به واسطه‌ی ممانعت از فعال شدن NF-kB می‌باشد (۸).

گزارش شده است که امکان دارد، میکروسفیرها و نانوذرات به طور مؤثر به روش فاگوسیتوز توسط ماکروفازها بلعیده شوند. بنابراین انتظار می‌رود که جذب این ذرات به داخل سلول‌های مربوط به سیستم ایمنی یا عبور این ذرات از سد روده بتواند سبب تجمع سیستم حامل ذرهای در مناطق آسیب دیده گردد. افزایش زمان توقف این ذرات ریز در مقایسه با سیستم‌های دارورسانی معمول موجود نیز می‌تواند سبب کاهش دوز دارو گردد (۹-۱۱).

در تجویز خوراکی نانوذرات برای دارورسانی به کولون، باید به گونه‌ای از نشت دارو از نانوذرات در مسیر معده و روده‌ی کوچک جلوگیری کرد. در غیر این صورت، آزاد سازی کترل نشده‌ی دارو قبل از رسیدن به کولون، ممکن است موجب ایجاد عوارض جانبی و نیز کاهش اثر درمانی گردد (۱۲). در دارو حساس به pH، پلیمرهایی به کار می‌روند که در pHهای معده و روده از آزاد سازی دارو جلوگیری می‌کنند و در محیط قلیایی کولون ($pH > 7$) شروع به آزاد سازی دارو می‌نمایند (۱۳).

در این مطالعه، دارورسانی اختصاصی نانوذرات سیلیبین به کولون از طریق

از بازکردن بافت در راستای طول آن توسط نرمال سالین سرد شسته و وزن گردید. نسبت وزن مرطوب کولون به طول آن به عنوان شاخصی از التهاب کولون محاسبه شد. شدت زخم پس از آن که بافت بر روی صفحه‌ای مسطح ثابت شد، بر اساس شماره‌های زیر از ۰ تا ۳ درجه‌بندی گردید.

۱: ظاهر طبیعی بدون زخم، ۲: اریتم و التهاب بدون زخم، ۳: وجود التهاب و زخم و ۴: زخم خون‌ریزی دهنده و نکروز (۱۵).

Image جهت تعیین مساحت زخم از نرم‌افزار J استفاده شد (۱۶).

پس از مطالعات ماکروسکوپی، نمونه‌ی بافت به طور طولی برش خورد و به سه قسمت تقسیم گردید. یک قسمت برای مطالعات میکروسکوپی در فرمالین ۱۰ درصد نگهداری شد. دو قسمت دیگر به طور جداگانه در لوله‌های اپندورف و در حمام ازت فریز شد و برای آنالیز بیوشیمیایی و ارزیابی فعالیت میلوپروکسیداز در دمای ۲۰- درجه‌ی سانتی‌گراد نگهداری گردید.

مطالعات میکروسکوپی

قسمتی از بافت کولون که درون فرمالین ۱۰ درصد تثبیت شده بود، داخل پارافین غوطه‌ور و پس از برش و تهیه‌ی سطح مقطع، با هماتوکسیلین و ائوزین (H&E) رنگ آمیزی شد. مطالعات میکروسکوپی شامل عکس‌برداری دیجیتال و درجه‌بندی هیستوپاتولوژیک نمونه‌ها، توسط همکار پاتولوژیست که نسبت به درمان‌ها بی‌اطلاع بود، انجام شد.

ارزیابی و درجه‌بندی هیستوپاتولوژیک توسط میکروسکوپ 20 (Standard Carl Zeiss®) مجهر Sony® (Color Video Camera) شده به یک دوربین

نوری، دما و رطوبت ثابت نگهداری می‌شدن، استفاده گردید. غذای رت‌ها از نوع غذای مخصوص به صورت پلت و آب به طور دلخواه در دسترس بود.

روش القای کولیت توسط اسید استیک و تجویز داروها

پنج گروه رت مورد آزمایش شامل گروه نانوکپسول‌های حاوی 75 mg/kg سیلیبین، نانوکپسول‌های فاقد سیلیبین (Blank)، گروه شاهد مثبت درمان شده با دگزامتاژون با دوز 1 mg/kg ، گروه شاهد منفی یا به اختصار گروه شاهد و گروه رت‌های سالم تحت درمان با نرمال سالین (2 ml/kg) بود.

رت‌ها به مدت ۳۶ ساعت در حالت روزه‌داری، به طوری که تنها امکان مصرف آب فراهم بود، نگهداری شدن. القای کولیت تحت بیهوشی خفیف با اتر و با استفاده از ۲ میلی‌لیتر اسید استیک ۴ درصد، که از طریق یک لوله‌ی پلاستیکی به قطر 2 میلی‌متر و طول 8 سانتی‌متر داخل مقعد وارد گردید، انجام شد (۱۴).

نانوذرات به دست آمده از فریز خشک (Dry) نانومولسیون، بعد از تنظیم دوز و توزین مقدار صحیح در $2/5 \text{ میلی‌لیتر}$ آب مقطر، بار دیگر، پراکنده شد و با کمک سرنگ و لوله‌ی خوراک دهنده به حیوان تجویز گردید.

تجویز دوزهای درمانی به مدت ۵ روز انجام شد؛ به طوری که، اولین دوز 2 ساعت قبل از القای زخم و دوزهای بعد به فاصله‌ی 24 ساعت از هم تنظیم شده بود. 24 ساعت پس از آخرین دوز درمان، رت‌ها توسط اتر با دوز بالا قربانی شدند.

مطالعات ماکروسکوپی

بعد از باز کردن شکم، میزان 8 سانتی‌متر کولون انتهایی، به فاصله 2 سانتی‌متر از مقعد، جدا شد و پس

میلوپروکسیداز مورد آنالیز قرار گرفت. بدین ترتیب $0/1$ میلی لیتر از آن به $2/9$ میلی لیتر بافر mM 50 از K_3PO_4 (pH = ۶) حاوی ارتو دیانیزیدین دی هیدروکلراید (mg/ml) $167/0$ و هیدروژن پراکسید $0/005$ درصد افزوده شد. جذب محصول واکنش توسط اسپکتروفوتومتر UV-Vis در طول موج 450 nm تعیین شد. فعالیت میلوپروکسیداز به صورت واحد بر وزن بافت بیان گردید (۱۸).

آنالیز بیوشیمیایی (تعیین میزان α -TNF و IL-6)

100 میلی گرم از بافت کولون درون بافر فسفات pH = $7/4$ (PBS یا Phosphate-buffered saline) حاوی 10 mM Tris HCl از 150 mM NaCl و 1 درصد از 100 X-100 Triton داخل حمام یخ 3 بار به مدت 30 ثانیه هموژنايز گردید. محصول، به درون لوله های اپندوروف منتقل و به مدت 10 دقیقه در دمای 4 درجه هی سانتی گراد با دور $g \times 13000$ سانتریفوژ شد. سپس، محلول رویی به دست آمده تا زمان آنالیز در دمای -80 درجه هی سانتی گراد نگهداری شد.

سیتوکین های TNF- α و IL-6 توسط کیت ELISA مخصوص رت و با توجه به دستورالعمل تولید کننده کیت اندازه گیری شد. جذب نمونه ها با استفاده از دستگاه ELISA reader در طول موج 450 nm تعیین و سطوح TNF- α و IL-6 به صورت پیکو گرم / میلی لیتر بیان گردید (۱۹).

یافته ها

ارزیابی ماکروسکوپی

در گروه رت های سالم (گروهی که کولیت القا نشد)، هیچ گونه زخم و التهابی مشاهده نشد و داده های مربوط به فاکتور های مساحت، شدت و شاخص زخم

صورت گرفت. ارزیابی شدت و وسعت التهاب و آسیب کریپتی بر اساس درجه بندی جدول ۱ صورت پذیرفت (۱۷).

جدول ۱. سیستم درجه بندی برای ارزیابی هیستوپاتولوژیک کولیت اولسراتیو

شاخته بندی	تعریف درجه
شدت التهاب	: بدون التهاب
	: خفیف
	: متوسط
	: شدید
وسعت التهاب	: بدون التهاب
	: مخاط
	: مخاط و زیر مخاط
	: سراسر عرض دیواره کولون
آسیب کریپتی	: بدون آسیب
	: آسیب در حد یک سوم قاعده هی کریپت ها
	: آسیب در حد دو سوم قاعده هی کریپت ها
	: فقدان کریپت ها، حضور اپیتلیوم سطحی
	: فقدان کریپت ها، فقدان اپیتلیوم سطحی

بررسی فعالیت میلوپروکسیداز (MPO یا Myeloperoxidase)

100 میلی گرم نمونه کولون 3 بار به مدت 30 ثانیه داخل 2 میلی لیتر بافر پتابسیم فسفات mM 50 حاوی $0/5$ درصد HTAB (هگزادسیل تری متیل آمونیوم بروماید) با $pH = 6$ هموژنايز شد. محصول به درون یک لوله نمونه انتقال داده شد و داخل حمام یخ به مدت 10 ثانیه سونیکه گردید. سپس، 3 بار متوالی فریز و گرم شد و دوباره 10 ثانیه سونیکه گردید. آن گاه، سوسپانسیون به دست آمده با دور rpm 15000 به مدت 15 دقیقه در دمای 4 درجه هی سانتی گراد سانتریفوژ (MIKRO200, Hettich, Germany) شد و محلول رویی برای اندازه گیری فعالیت

فاکتور شدت و مساحت زخم است، نسبت به گروه شاهد با $P < 0.01$ کاهش یافت. داده‌های مربوط به نسبت وزن به طول کولون، در گروه‌های درمان شده با نانوکپسول‌های سیلیبین، از لحاظ آماری به گروه سالم نزدیک بود.

ارزیابی میکروسکوپی

همان گونه که در جدول ۳ و شکل ۱ نمایش داده شده است، نتایج مربوط به گروه شاهد نشان دهنده التهاب شدید، آسیب شدید کریپتی و انتشار لوکوسیت‌ها به درون لایه‌های مخاطی و زیرمخاطی بود؛ در حالی که در گروه سالم، هیچ نشانه‌ای از آسیب هیستوپاتولوژیک رؤیت نگردید. در کولون گروه سالم، لایه‌ی مخاطی و کریپت‌ها طبیعی بود و اینفیلتراسیون لوکوسیت‌ها مشاهده نمی‌شد. در گروه شاهد، التهاب شدید مخاط و زیرمخاط، آسیب کریپتی و نیز اینفیلتراسیون لوکوسیت‌ها قابل مشاهده بود. در گروه دریافت کننده‌ی دگرامتاژون (mg/kg) ۱، حداقل اینفیلتراسیون سلول‌های التهابی دیده شد و گروه کولیت درمان شده با نانوکپسول‌های سیلیبین (mg/kg) ۷۵ التهاب خفیف تا متوسط لایه‌ی مخاطی و آسیب کریپتی اندکی نشان داد.

صفر بود.

با توجه به جدول ۲، گروه شاهد و گروه تحت درمان با نانوکپسول‌های فاقد دارو بالاترین شدت، مساحت و شاخص زخم‌زایی و نیز، بیشترین نسبت وزن به طول کولون را نشان دادند.

بیشترین بهبودی در تمام شاخصهای بررسی ماکروسکوپی زخم، مربوط به گروه شاهد مثبت (دگرامتاژون خوراکی) بود. اعداد مربوط به شاخصهای شدت، مساحت و شاخص زخم در درمان با دگرامتاژون تفاوت قابل ملاحظه‌ای از لحاظ آماری در مقایسه با گروه شاهد نشان می‌داد؛ با این وجود، دگرامتاژون نتوانست شاخصهای ماکروسکوپی کولیت را (به استثنای نسبت وزن/طول کولون) به حد طبیعی برساند.

کاهش شدت زخم و نیز نسبت وزن به طول کولون در گروه‌های درمان شده با نانوکپسول‌های سیلیبین نسبت به گروه شاهد به ترتیب با $P < 0.05$ و $P < 0.01$ تفاوت معنی‌داری را نشان داد. مساحت زخم در گروه نانوکپسول‌های سیلیبین نسبت به گروه شاهد کاهش معنی‌داری نشان نداد؛ درصورتی که شاخص زخم، که نشان دهنده‌ی هر دو

جدول ۲. نتایج مربوط به بررسی ماکروسکوپی کولیت القا شده توسط اسید استیک در رت پس از درمان ۵ روزه ($n = 6$)

گروه	درجه شدت زخم (۰-۳)	مساحت زخم (cm ²)	شاخص زخم	نسبت وزن به طول کولون (w/l, mg/c)
سالم	۰/۰ ± ۰/۰	۰/۰ ± ۰/۰	۰/۰ ± ۰/۰	۱۳۷/۰ ± ۶/۶***
شاهد	۲/۶ ± ۰/۲	۷/۲ ± ۰/۳	۹/۹ ± ۰/۴	۲۱۷/۸ ± ۸/۴
دگرامتاژون	۱/۱ ± ۰/۱**	۳/۵ ± ۰/۵***	۴/۷ ± ۰/۴***	۱۴۲/۹ ± ۴/۹***
نانوکپسول سیلیبین	۱/۵* ± ۰/۲	۵/۳ ± ۰/۶	۶/۸** ± ۰/۶	۱۵۴/۱ ± ۱۱/۴***
Blank	۲/۵ ± ۰/۲	۷/۱ ± ۰/۳	۹/۶ ± ۰/۵	۲۱۰/۵ ± ۸/۶

مقادیر به صورت mean ± SEM بیان شده‌اند.

مقایسه‌ها توسط آزمون آماری ANOVA (برای سایر شاخص‌ها) و با گروه شاهد انجام گرفته است.

* $P < 0.05$ ** $P < 0.01$ *** $P < 0.001$

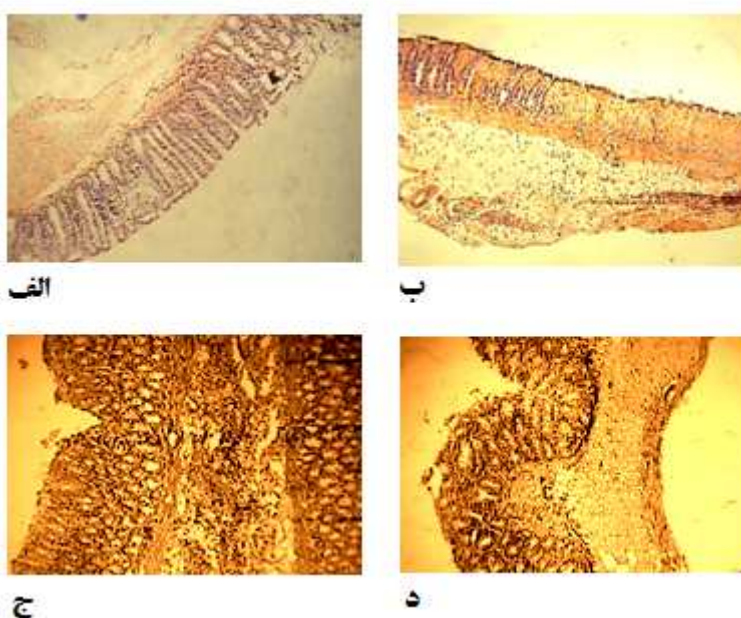
جدول ۳. نتایج مربوط به بررسی میکروسکوپیک کولیت القاشهه توسط اسید استیک در رت پس از درمان ۵ روزه ($n = 6$)

گروه	شدت التهاب	وسعه التهاب	آسیب کریپتی	شاخص کولیت تام
سالم	۰/۰ ± ۰/۰ ***	۰/۰ ± ۰/۰ ***	۰/۰ ± ۰/۰ ***	۰/۰ ± ۰/۰ ***
شاهد	۱/۰ ± ۰/۰	۴/۰ ± ۰/۰	۳/۰ ± ۰/۰	۳/۰ ± ۰/۰
دگرامتاژون	۴/۶ ± ۰/۵ **	۱/۵ ± ۰/۵ **	۱/۶ ± ۰/۵ ***	۱/۵ ± ۰/۲ **
نانوکپسول سیلیبین	۵/۱ ± ۰/۸ **	۱/۶ *** ± ۰/۴ **	۱/۶ ± ۰/۳	۱/۸ * ± ۰/۴
Blank	۹/۱ ± ۰/۳	۳/۶ ± ۰/۲	۲/۶ ± ۰/۲	۲/۸ ± ۰/۱

مقادیر به صورت mean ± SEM بیان شده‌اند.

مقایسه‌ها توسط آزمون آماری Mann Whitney U و با گروه شاهد انجام گرفته است.

$$P < 0.001 *** \quad P < 0.01 ** \quad P < 0.05 *$$

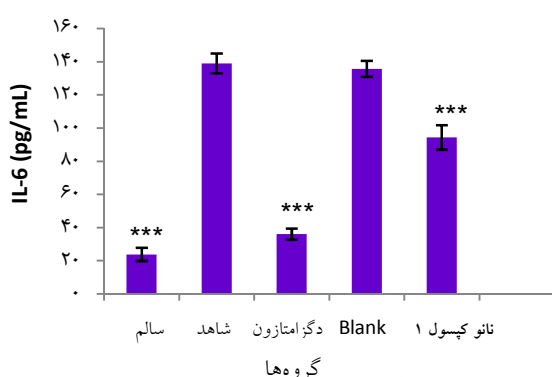


شکل ۱. عکس‌های هیستوپاتولوژی بافت کولون در گروه‌های مورد مطالعه

الف: کولون سالم، ب: شاهد، ج: دگرامتاژون (۱)، د: کولیت درمان شده با نانوکپسول‌های سیلیبین (۷۵ mg/kg)

۱< P در مقایسه با رت‌های درمان نشده (گروه شاهد)، تفاوت نشان داد. تجویز نانوکپسول‌های سیلیبین در مقایسه با شاهد، در تخفیف شدت و وسعت التهاب و همین طور آسیب کریپتی مؤثر بود. نتایج حاصل از بررسی شاخص کولیت تام در این گروه، نشان دهنده تفاوت معنی‌دار آن با گروه شاهد بود ($P < 0.01$).

تمام فاکتورهای مربوط به مشاهدات هیستوپاتولوژی شامل شدت التهاب، وسعت التهاب، آسیب کریپتی و شاخص کولیت تام (Total colitis index) در گروه دگرامتاژون بسیار کاهش یافته بود؛ به طوری که، التهاب خفیف موکوسی و حداقل آسیب کریپتی مشاهده شد. شاخص کولیت تام در درمان با دگرامتاژون، با



شکل ۳. میزان ایترلوکین ۶ (IL-6) در بافت کولون در گروه‌های

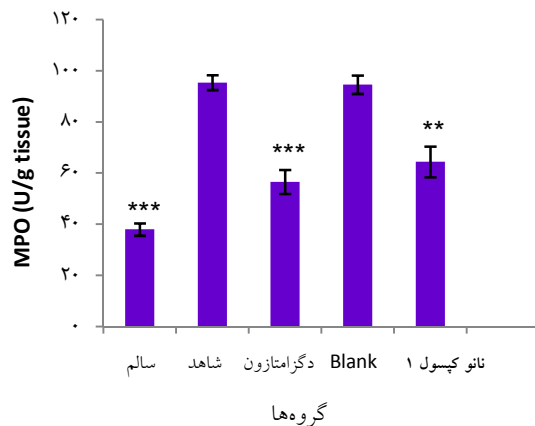
مورد مطالعه ($n = 6$)مقادیر به صورت $\text{mean} \pm \text{SEM}$ بیان شده‌اند. $P < 0.001$ *** اختلاف معنی‌دار با گروه شاهد

ارزیابی فعالیت میلوپراکسیداز

همان طور که در شکل ۲ مشاهده می‌شود، کمترین سطح فعالیت میلوپراکسیداز متعلق به گروه سالم و بیشترین آن مربوط به گروه شاهد بود. در گروه درمان شده با دگزاماتازون، سطح فعالیت میلوپراکسیداز با $0.001 < P$ کاهش یافت؛ نتایج، نشان دهنده تفاوت معنی‌دار این گروه با گروه سالم بود ($0.05 < P$). در مورد گروه درمان شده با نالوکپسول‌های سیلیبین، فعالیت میلوپراکسیداز به طور قابل توجهی کاهش یافت ($0.01 < P$).

اندازه‌گیری TNF- α

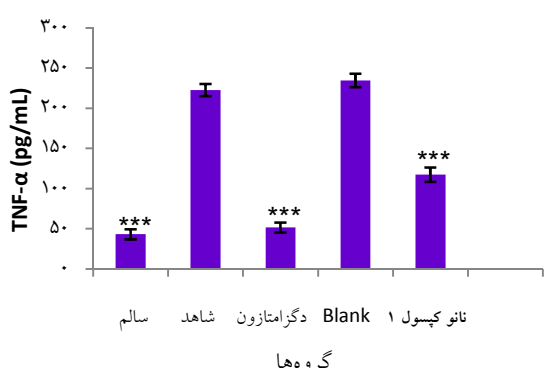
نتایج حاصل از اندازه‌گیری TNF- α در شکل ۴ دیده می‌شود. با توجه به این نمودار، میزان TNF- α در گروه دگزاماتازون نسبت به گروه شاهد تفاوت معنی‌داری نشان داد ($0.001 < P$). سطح TNF- α در رت‌های درمان شده با نالوکپسول‌های سیلیبین در مقایسه با گروه شاهد، بسیار پایین‌تر بود.



شکل ۲. سطح فعالیت میلوپراکسیداز در بافت کولون در گروه‌های

مورد مطالعه ($n = 6$)مقادیر به صورت $\text{mean} \pm \text{SEM}$ بیان شده‌اند. $P < 0.001$ *** اختلاف معنی‌دار با گروه شاهد

اندازه‌گیری IL-6

شکل ۴. میزان TNF- α در بافت کولون در گروه‌های مورد مطالعه ($n = 6$)مقادیر به صورت $\text{mean} \pm \text{SEM}$ بیان شده‌اند. $P < 0.001$ *** اختلاف معنی‌دار با گروه شاهد

با توجه به شکل ۳، سطح IL-6 در رت‌های درمان شده با دگزاماتازون بسیار پایین‌تر از سطح IL-6 در گروه شاهد بود؛ به طوری که به گروه سالم بسیار نزدیک می‌نمود. تأثیر قابل توجه نالوکپسول‌های سیلیبین روی کاهش IL-6 در مقایسه با گروه شاهد به طور کامل مشهود بود ($0.001 < P$).

سلولی، ادم موکوسی، زخم شدید کولون و افزایش ترشح واسطه‌های التهابی را ایجاد می‌کند. همچنین، اینفیلتراسیون سلول‌های چند هسته‌ای و تک هسته‌ای بافت روده افزایش خواهد یافت.

تلقیح محلول اسید استیک رقیق شده به داخل کولون، التهابی شبیه به التهاب UC در انسان ایجاد می‌کند؛ با این تفاوت که این التهاب، طبیعت مزمن ندارد (۱۴). در بررسی نتایج به دست آمده، اختلاف بین نتایج حاصل از گروه شاهد با گروه سالم، نشان دهنده‌ی این نکته است که روش القای کولیت، به طور کامل مؤثر و تکرار پذیر می‌باشد و احتمال ایجاد جواب مثبت کاذب رد می‌شود (۲۳). نتایج ماکروسکوپی و میکروسکوپی به دست آمده از گروه شاهد، نشان دهنده‌ی بالاترین درجه‌ی التهاب و آسیب بود. در گروه درمان شده با دگزاماتازون، به عنوان شاهد مثبت، تمام ویژگی‌های زخم در سطح میکروسکوپی و ماکروسکوپی درمان شد و این نتایج، صحیح بودن روش را تأیید می‌کند.

شاخص مساحت زخم در تجویز نانوکپسول سیلیبین کاهش مطلوبی نداشت؛ اما شاخص زخم، که بیانگر دو فاکتور شدت و مساحت زخم می‌باشد، کاهش قابل توجهی نشان داد. این، بدان معنی است که نانوکپسول سیلیبین توانست در بهبود شدت زخم، که شاخصی تعیین کننده و مفید جهت بررسی اثربخشی داروها است، مؤثرتر باشد.

یکی از شاخص‌های ساده و قابل اعتماد برای تعیین وسعت و شدت التهاب، اندازه‌گیری وزن مرطوب کولون ملتهب است (۲۴)؛ این شاخص می‌تواند نشان دهنده‌ی میزان نفوذ پذیری مویرگی و محتوای آب میان بافتی باشد (۲۳). دگزاماتازون و

بحث

تا کنون مطالعات زیادی انجام شده است که حاکی از درگیری ماکروفازها، سلول‌های دندرتیک و سلول‌های T در پاتوفیزیولوژی IBD می‌باشد؛ بنابراین، سیستم حامل دارویی که دارو را به طور اختصاصی به بافت‌های ملتهب انتقال دهد، قادر است عوارض جانبی شدید داروهای شیمیایی ضدالتهاب را کم کند (۲۰).

نانوذرات متفاوتی جهت دارورسانی در درمان بیماری التهابی روده به کار رفته‌اند که از آن جمله می‌توان به استفاده از نانوذرات پلی‌لاكتاید کوگلیکولاید جهت دارورسانی Rolipram اشاره نمود. این نانوذرات قادر بودند، دارو را در بافت‌های التهابی مجتمع نمایند و در مقایسه با محلول دارو، بسیار مؤثر واقع شدند؛ به علاوه، دارای زمان توقف طولانی‌تر در مناطق فوق بودند (۲۱). از سایر نانوذرات به کار رفته جهت دارورسانی به کولون، Poly(lactic-co-) PLGA مخلوطی همگن (۱:۱) از S100 [glycolic acid] با یودراژیت یودزوناید به کار رفته است (۲۲). در تحقیق حاضر، اثر نانوذرات پلیمری حاوی سیلیبین روی کولیت در رت بررسی شد.

القای کولیت توسط اسید استیک یکی از رایج‌ترین مدل‌های مورد استفاده برای ارزیابی کارایی داروها برای بیماری IBD است. این روش، یک راه تکرار پذیر و ساده برای آزمایش کارایی داروهای ضدالتهاب جدید است. پاسخ التهابی در این روش تنها مربوط به اثر تحریک کنندگی اسید نمی‌باشد؛ چرا که، استفاده از محلول مشابه HCl چنین پاسخی را ایجاد نمی‌کند. مدل القای UC توسط اسید استیک، تغییرات هیستوپاتولوژیک همانند اینفیلتراسیون

دسته‌ی بزرگی از فیتواستروژن‌ها را شامل می‌شوند که به عنوان آنتی‌اکسیدان عمل می‌کنند (۲۵). به علاوه، مطالعات نشان داده است که فلاونوئیدها نیز اثرات آنتی‌اکسیدانی دارند (۲۶). نقش استرس‌های اکسیداتیو در آغاز و نیز پیشرفت UC به خوبی اثبات شده است (۲۷-۲۸).

در فرایند التهاب، انفیلتراسیون سلول‌های ایمنی به محل التهاب موجب تولید مقدار زیادی ترکیبات مضار شامل ROS (Reactive oxygen species) می‌شود. ROS در آسیب‌های اکسیداتیو ترکیبات مختلف سلول‌ها نقش دارد که این موضوع منجر به مرگ سلول‌ها آپوپتوز می‌شود (۲۹). رادیکال‌های آزاد و ROS در بافت ملتهدب می‌توانند سلول‌های ایمنی مختلفی را به محل التهاب جذب کند (۳۰). نوتروفیل‌های چندهسته‌ای گروهی از این سلول‌ها هستند که حرکت آن‌ها به بافت ملتهدب باعث بیان ترکیبات التهابی مختلف، شامل سیتوکین‌های TNF- α ، IL-8، IL-6، IL-1 β و IL-1 α ، پیش‌التهابی (مانند IL-1 β ، IL-6، IL-8 و IL-1 α)، پروستاگلاندین‌ها، لوکوتربین‌ها و فاکتور فعال کنندهٔ پلاکت می‌شود (۳۱). نوتروفیل‌های فعال شده در بافت ملتهدب، به طور غیرمنتظره‌ای مقدار زیادی ROS اکسیژن مصرف می‌کند که موجب تولید بیشتر و بیان بیشتر آنزیم‌های اکسیداتیو مثل میلوپروکسیداز می‌گردد. میلوپروکسیداز در گرانول‌های نوتروفیل قرار دارد و سطح و فعالیت آن به عنوان یک نشانگر (Marker) اینفیلتراسیون نوتروفیل به محل التهاب در هر دو مدل IBD در انسان و آزمایشگاه بسیار مفید است (۳۲). نتایج حاصل از تعیین فعالیت میلوپروکسیداز بعد از تجویز نانوکپسول‌های حاوی سیلیبین نشان داد که این نانوسیستم به خوبی قادر به

نانوکپسول سیلیبین هر دو، نسبت وزن به طول کولون را در مقایسه با شاهد کاهش دادند.

مطالعات هیستوپاتولوژی به منظور تأیید اثرات کلینیکی درمان‌های تجویز شده صورت می‌گیرد و این مطالعات تغییرات التهابی در کولون را نشان می‌دهد (۲۳). شدت التهاب (Inflammation severity)، میزان ارتضاح سلول‌های التهابی را نشان می‌دهد و وسعت التهاب (Inflammation extent) بیانگر میزان درگیر بودن قسمت‌های مختلف عرض غشا شامل مخاط، زیرمخاط و یا سراسر عرض دیواره کولون می‌باشد (۱۷). شاخص کولیت تام (Total colitis index) به عنوان شاخصی برای بررسی نتایج میکروسکوپی گروه‌های مختلف به کار می‌رود؛ چرا که، سایر شاخص‌ها در این شاخص معنکس شده است.

در نتایج میکروسکوپی به دست آمده، اختلاف بین گروه‌های درمان شده با نانوکپسول‌های سیلیبین و شاهد معنی‌دار بود و این یافته نشان می‌دهد که نانوکپسول‌های سیلیبین در درمان ضایعات مؤثر بوده است. با بررسی بیشتر نتایج متوجه می‌شویم که بین این گروه و گروه سالم تفاوت معنی‌دار وجود داشته است؛ به این مفهوم که، نانوکپسول‌ها با وجود اثربخشی مناسب، نتوانستند ضایعات را به طور کامل بهبود بخشنده؛ در هر حال، حتی دگزامتاژون هم به عنوان داروی مرجع، به طور کامل بهبودی ایجاد نکرد. یکی از دلایل این موضوع می‌تواند دوره‌ی درمان کوتاه مدت باشد.

سیلیبین بخش اعظم فلاونولیگنان‌های سیلیمارین است. فلاونولیگنان فنول طبیعی متشكل از یک بخش فلاونوئید و یک بخش لیگنان می‌باشد. لیگنان‌ها

میلوپروکسیداز به خوبی نتایج حاصل از مطالعات ماکروسکوپی و هیستوپاتولوژی را تأیید می‌کند.

نتیجه‌گیری

نانوکپسول‌های پلی(اتیل آکریلات-کو-متیل متاکریلات-کو-تری‌متیل آمونیوم اتیل متاکریلات) حاوی سیلیبین در درمان کولیت القا شده توسط اسید استیک در مدل آزمایشگاهی رت مؤثر می‌باشد و می‌تواند به عنوان جایگزین مناسب با خاصیت آنتی‌کولیت، برای داروهای فعلی در نظر گرفته شود. در هر حال، مطالعات بیشتری برای تأیید این فرضیه به منظور استفاده در کلینیک نیاز است.

تشکر و قدردانی

از حمایت مالی معاونت تحقیقات و فناوری دانشگاه علوم پزشکی اصفهان در انجام این طرح پژوهشی قدردانی می‌شود.

کاهش فعالیت این آنزیم در بافت کولون می‌باشد. واسطه‌های التهابی نقش اساسی در پروسه‌های التهابی در IBD دارند؛ به طوری که، میزان بیان سیتوکین‌های التهابی مثل TNF- α IL-1، IL-6 و IL-10 افزایش می‌یابد. فلاونوئیدها باعث مهار این سیتوکین‌ها می‌شوند (۳۳). این سیتوکین‌ها قادر به بدتر کردن روند بیماری به وسیله‌ی آغاز کردن فعالیت دیگر سیتوکین‌های التهابی می‌باشند (۳۴). TNF- α نقش مهمی در آپوپتوز انتروسیت‌ها دارد (۳۵)؛ بنابراین، مهار این سیتوکین‌های پراهمیت می‌تواند موجب جلوگیری از افزایش مضر دیگر واسطه‌های سمی و التهابی شود (۲۹). با توجه به اندازه‌گیری‌های TNF- α IL-6 و IL-10 پس از درمان کولیت رت با نانوکپسول‌های حاوی سیلیبین، کاهش قابل توجه سطح این فاکتورهای التهابی در مقایسه با گروه شاهد رؤیت شد. بنابراین، نتایج حاصل از آنالیز بیوشیمیایی و فعالیت

References

1. Maines LW, Fitzpatrick LR, French KJ, Zhuang Y, Xia Z, Keller SN, et al. Suppression of ulcerative colitis in mice by orally available inhibitors of sphingosine kinase. *Dig Dis Sci* 2008; 53(4): 997-1012.
2. Xie F, Blackhouse G, Assasi N, Gaebel K, Robertson D, Goeree R. Cost-utility analysis of infliximab and adalimumab for refractory ulcerative colitis. *Cost Eff Resour Alloc* 2009; 7: 20.
3. Triantafyllidis JK, Merikas E, Georgopoulos F. Current and emerging drugs for the treatment of inflammatory bowel disease. *Drug Des Devel Ther* 2011; 5: 185-210.
4. Cuadrado E, Alonso M, de Juan MD, Echaniz P, Arenas JI. Regulatory T cells in patients with inflammatory bowel diseases treated with adacolumn granulocytapheresis. *World J Gastroenterol* 2008; 14(10): 1521-7.
5. Mateen S, Tyagi A, Agarwal C, Singh RP, Agarwal R. Silibinin inhibits human nonsmall cell lung cancer cell growth through cell-cycle arrest by modulating expression and function of key cell-cycle regulators. *Mol Carcinog* 2010; 49(3): 247-58.
6. Vaid M, Katiyar SK. Molecular mechanisms of inhibition of photocarcinogenesis by silymarin, a phytochemical from milk thistle (*Silybum marianum* L. Gaertn.) (Review). *Int J Oncol* 2010; 36(5): 1053-60.
7. Cui W, Gu F, Hu KQ. Effects and mechanisms of silibinin on human hepatocellular carcinoma xenografts in nude mice. *World J Gastroenterol* 2009; 15(16): 1943-50.
8. Jamshidi AH, Ahmadi Ashtiani HR, Oliazadeh N, Jafarzadeh M, Taheri Boroujerdi M, Naderi MM, et al. A key for the thousand lock: comprehensive review of herbal medicine (silymarin) and Introducing of Silybum. Tehran, Iran: Noavar Publications; 2007. [In Persian].
9. Tabata Y, Inoue Y, Ikada Y. Size effect on systemic and mucosal immune responses induced

- by oral administration of biodegradable microspheres. *Vaccine* 1996; 14(17-18): 1677-85.
- 10.** Pinto-Alphandary H, Balland O, Laurent M, Andremont A, Puisieux F, Couvreur P. Intracellular visualization of ampicillin-loaded nanoparticles in peritoneal macrophages infected in vitro with *Salmonella typhimurium*. *Pharm Res* 1994; 11(1): 38-46.
- 11.** Lamprecht A, Schafer U, Lehr CM. Size-dependent bioadhesion of micro- and nanoparticulate carriers to the inflamed colonic mucosa. *Pharm Res* 2001; 18(6): 788-93.
- 12.** Ulrich W, Lamprecht A. Targeted drug-delivery approaches by nanoparticulate carriers in the therapy of inflammatory diseases. *J R Soc Interface* 2010; 7(Suppl 1): S55-S66.
- 13.** Asghar LF, Chure CB, Chandran S. Colon specific delivery of indomethacin: effect of incorporating pH sensitive polymers in xanthan gum matrix bases. *AAPS PharmSciTech* 2009; 10(2): 418-29.
- 14.** Mascolo N, Izzo AA, Autore G, Maiello FM, Di CG, Capasso F. Acetic acid-induced colitis in normal and essential fatty acid deficient rats. *J Pharmacol Exp Ther* 1995; 272(1): 469-75.
- 15.** Varshosaz J, Ahmadi F, Emami J, Tavakoli N, Minaiyan M, Mahzouni P, et al. Colon delivery of budesonide using solid dispersion in dextran for the treatment and secondary prevention of ulcerative colitis in rat. *Int J Prev Med* 2010; 1(2): 115-23.
- 16.** Motavallian-Naeini A, Minaiyan M, Rabbani M, Mahzuni P. Anti-inflammatory effect of ondansetron through 5-HT3 receptors on TNBS-induced colitis in rat. *EXCLI Journal* 2012; 11: 30-44.
- 17.** Minaiyan M, Ghannadi A, Etemad M, Mahzouni P. A study of the effects of Cydonia oblonga Miller (Quince) on TNBS-induced ulcerative colitis in rats. *Res Pharm Sci* 2012; 7(2): 103-10.
- 18.** Sadeghi H, Hajhashemi V, Minaiyan M, Movahedian A, Talebi A. A study on the mechanisms involving the anti-inflammatory effect of amitriptyline in carrageenan-induced paw edema in rats. *Eur J Pharmacol* 2011; 667(1-3): 396-401.
- 19.** Blalock TD, Varela JC, Gowda S, Tang Y, Chen C, Mast BA, et al. Ischemic skin wound healing models in rats. *Wounds* 2001; 13(1): 35-44.
- 20.** Probert CS, Chott A, Turner JR, Saubermann LJ, Stevens AC, Bodinaku K, et al. Persistent clonal expansions of peripheral blood CD4+ lymphocytes in chronic inflammatory bowel disease. *J Immunol* 1996; 157(7): 3183-91.
- 21.** Lamprecht A, Ubrich N, Yamamoto H, Schafer U, Takeuchi H, Maincent P, et al. Biodegradable nanoparticles for targeted drug delivery in treatment of inflammatory bowel disease. *J Pharmacol Exp Ther* 2001; 299(2): 775-81.
- 22.** Makhlof A, Tozuka Y, Takeuchi H. pH-Sensitive nanospheres for colon-specific drug delivery in experimentally induced colitis rat model. *Eur J Pharm Biopharm* 2009; 72(1): 1-8.
- 23.** Minaiyan M, Ghannadi AR, Afsharipour M, Mahzouni P. Effects of extract and essential oil of Rosmarinus officinalis L. on TNBS-induced colitis in rats. *Res Pharm Sci* 2011; 6(1): 13-21.
- 24.** Paiva LA, Gurgel LA, De Sousa ET, Silveira ER, Silva RM, Santos FA, et al. Protective effect of *Copaifera langsdorffii* oleo-resin against acetic acid-induced colitis in rats. *J Ethnopharmacol* 2004; 93(1): 51-6.
- 25.** Deep G, Gangar SC, Rajamanickam S, Raina K, Gu M, Agarwal C, et al. Angioprotective efficacy of pure flavonolignans from milk thistle extract against prostate cancer: targeting VEGF-VEGFR signaling. *PLoS One* 2012; 7(4): e34630.
- 26.** Ozyurek M, Bektasoglu B, Guclu K, Apak R. Hydroxyl radical scavenging assay of phenolics and flavonoids with a modified cupric reducing antioxidant capacity (CUPRAC) method using catalase for hydrogen peroxide degradation. *Anal Chim Acta* 2008; 616(2): 196-206.
- 27.** Kruidenier L, Verspaget HW. Review article: oxidative stress as a pathogenic factor in inflammatory bowel disease--radicals or ridiculous? *Aliment Pharmacol Ther* 2002; 16(12): 1997-2015.
- 28.** Korenaga D, Takesue F, Kido K, Yasuda M, Inutsuka S, Honda M, et al. Impaired antioxidant defense system of colonic tissue and cancer development in dextran sulfate sodium-induced colitis in mice. *J Surg Res* 2002; 102(2): 144-9.
- 29.** Simmonds NJ, Rampton DS. Inflammatory bowel disease--a radical view. *Gut* 1993; 34(7): 865-8.
- 30.** Hosseini-Tabatabaei A, Esmaily H, Rahimian R, Khorasani R, Baeeri M, Barazesh-Morgani A, et al. Benefits of nicorandil using an immunologic murine model of experimental colitis. *Cent Eur J Biol* 2009; 4(1): 74-85.
- 31.** Rogler G, Andus T. Cytokines in inflammatory bowel disease. *World J Surg* 1998; 22(4): 382-9.
- 32.** Grulke S, Franck T, Gangl M, Peters F, Salciccia A, Debey-Dupont G, et al. Myeloperoxidase assay in plasma and peritoneal fluid of horses with gastrointestinal disease. *Can J Vet Res* 2008; 72(1): 37-42.
- 33.** Shen C, de HG, Bullens DM, Van AG, Geboes

- K, Rutgeerts P, et al. Remission-inducing effect of anti-TNF monoclonal antibody in TNBS colitis: mechanisms beyond neutralization? *Inflamm Bowel Dis* 2007; 13(3): 308-16.
34. Ebrahimi F, Esmaily H, Baeeri M, Mohammadrad A, Fallah S, Abdollahi M. Molecular evidences on the benefits of N-acetylcysteine in experimental colitis. *Cent. Eur J Biol* 2008; 3(2): 135-42.
35. Jurjus AR, Khoury NN, Reimund JM. Animal models of inflammatory bowel disease. *J Pharmacol Toxicol Methods* 2004; 50(2): 81-92.

Effects of Silibin Nanocapsules on Acetic Acid Induced Ulcerative Colitis in Rats

Mohsen Minaiyan PhD¹, Jaleh Varshosaz PhD¹, Nafiseh Khaleghi²

Original Article

Abstract

Background: Silibin is the major (70–80%) and the most active biological flavonolignan of silymarin with antioxidant and anti-inflammatory effects. Studies have shown that nanoparticles can effectively be swallowed by macrophages which are associated with inflammation procedure of ulcerative colitis. In addition, further reducing the particle size increases particle uptake into the intestinal cells and the particles could be deposited more effectively on affected areas. In the present study, nanoparticles of silibin were designed to evaluate their effectiveness on ulcerative colitis in rats.

Methods: Test nanoparticles consisted of 15 mg of silibin loaded in 15 mg of poly(ethyl acrylate-co-methyl methacrylate-co-trimethyl ammonium ethyl methacrylate) polymer with average particle size of 109 nm which had been coated by 20% w/w of poly(methyl acrylate-co-methyl methacrylate-co-methacrylic acid) polymer in order to deliver nanoparticles to colon specifically. Five separate groups of rats were fasted for 36 hours and then, colitis was induced with 2 ml of acetic acid 4%. Treatments were made for 5 days, once a day, started 2 hours before colitis induction. The designed groups were: nanocapsules containing 75 mg/kg silibin, nanocapsules without silibin, dexamethasone (1 mg/kg), normal saline (2 ml/kg) and normal group. 24 hours after the last administration, colon tissue was removed; macroscopic and histopathologic assessment, also determination of myeloperoxidase (MPO) activity, tumor necrosis factor alpha (TNF- α) and interleukin 6 (IL-6) levels were conducted.

Findings: Silibin nanocapsules were effective to diminish inflammation and ulcer severity while it was not able to reduce ulcer area statistically. Weight/length ratio in dexamethason and silibin nanocapsule group was close to that in normal group. Microscopic assessment of silibin nanocapsule group showed a mild to moderate inflammation of mucosa and minimal crypt damage as the values were significantly different from those of control group. Treatment with silibin nanocapsules resulted in decreasing of myeloperoxidase activity and also both levels of IL-6 and TNF- α compared to control group.

Conclusion: Poly (ethyl acrylate-co-methyl methacrylate-co-trimethyl ammonium ethyl methacrylate) nanocapsules of silibin could be considered as a suitable alternative for present drugs with anti-colitis property. However, more studies are needed to support this hypothesis for clinical use.

Keywords: Silibin nanocapsules, Ulcerative colitis, Myeloperoxidase activity, Tumor necrosis factor alpha (TNF- α), Interleukin 6 (IL-6), Rat

Citation: Minaiyan M, Varshosaz J, Khaleghi N. Effects of Silibin Nanocapsules on Acetic Acid Induced Ulcerative Colitis in Rats. J Isfahan Med Sch 2013; 31(236): 661-74

* This paper is derived from a Pharm D thesis in Isfahan University of Medical Sciences.

1- Professor, Department of Pharmacology, School of Pharmacy, Isfahan University of Medical Sciences, Isfahan, Iran

2- Student of Pharmacy, Department of Pharmaceutics, School of Pharmacy AND Novel Drug Delivery Systems Research Center AND Students Research Committee, Isfahan University of Medical Sciences, Isfahan, Iran

Corresponding Author: Jaleh Varshosaz PhD, Email: varshosaz@pharm.mui.ac.ir